

Studium tenkých mazacích filmů spektroskopickou reflektrometrií

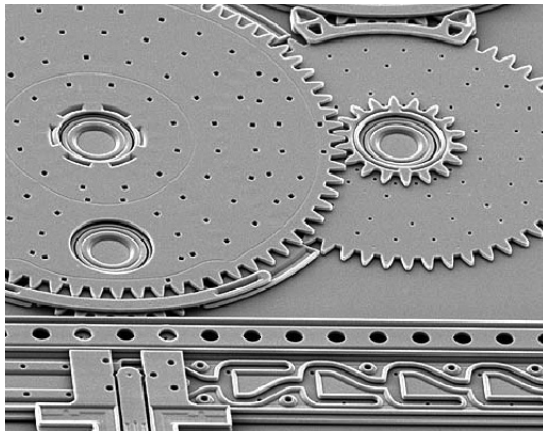
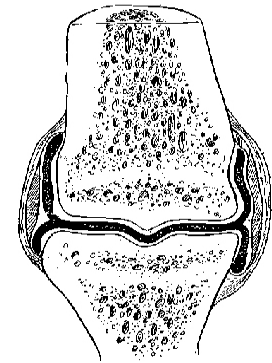
Pojednání ke státní doktorské zkoušce.

Ing. Vladimír Čudek
Ústav konstruování
Fakulta strojního inženýrství
Vysoké učení technické v Brně

Obsah

- Úvod do problematiky.
- Shrnutí současného stavu poznání.
- Definice cílů disertační práce.
- Současný stav řešení disertační práce.
- Závěr

Vlivem nedostatečného nebo špatného mazání dochází často ke zvýšenému opotřebení a ztrátám vlivem tření.



Optické měřicí metody

- Metody založené na digitalizaci a analýze interferogramů:
 - chromatická interferometrie^{1,2,3},
 - ROI^{4,5}.
- Metody založené na principu spektrální analýzy:
 - metoda posunutí píku⁶.

1. Gustafsson, L., Hoeglund, E. and Marklund, O. Measuring lubricant film thickness with image analysis. Proc. Instn. Mech. Engrs, Part J, Journal of Engineering Tribology, 1994, 208(J3), 199-205.

2. Hartl, M., Křupka, I. and Liška, M. Differential colorimetry: tools for evaluation of chromatic interference patterns. Opt. Engng, 1997, 36, 1-8.

3. Cann, P. H., Hutchinson, J. and Spikes, H. A. The development of a spacer layer imaging method (SLIM) for mapping elastohydrodynamic contacts. Tribology Trans., 1996, 39, 915-921

4. LUO, J.; WEN, S.; HUANG, P. Thin film lubrication Part I: Study on the transition between EHL and thin film lubrication using a relative optical interference technique. 1996, Wear, vol. 194, s.107-115.

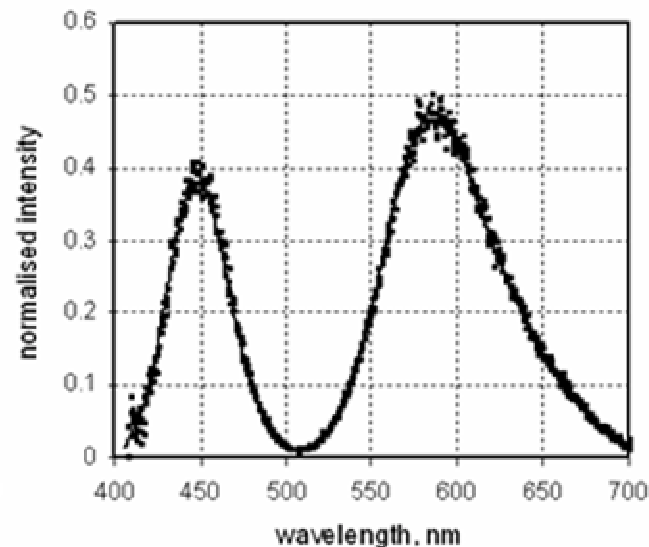
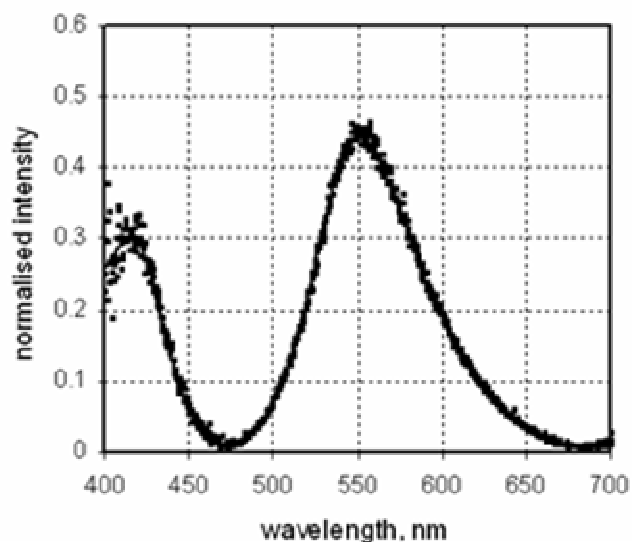
5. Guo, F., Wong, P., L., A. Multi-beam intensity-based approach for lubricant film measurements in non-conformal contacts. Proceeding Institution of Mechanical Engineers, Part J: Journal of Engineering Tribology, 216, s. 281-291

6. JOHNSTON, G. J., WAYTE, R., SPIKES, H. A. The measurement and study of very thin lubricant films in concentrated contacts. Tribology Transactions, 1991, vol. 34, s. 187-194.



Metoda posunutí píku

- Měřicí technika využívající proužky stejného chromatického řádu (FECO).
- Tloušťka mazacího filmu je vyhodnocována na základě posunutí interferenčního maxima.

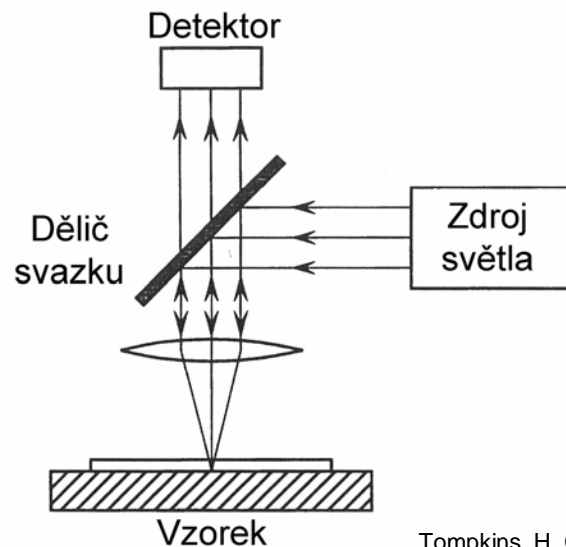


$$h = \frac{(N - f)\Delta l}{2n}$$

HARTL, M., KŘUPKA, I., LIŠKA, M. Experimental study of boundary layers formation in concentrated contacts. In: Boundary and mixed lubrication: Science and application (Proceedings of the 28th Leeds-Lyon symposium on tribology). Amsterdam, Elsevier science B. V. 2002, s. 413-421

Spektroskopická reflektometrie

- Měření odraženého světla jako spektrální závislost.
- Matematický model založen na *fresnelových koeficientech* popisujících odrazivost na optických rozhraních.
- Získání hledaných optických parametrů – tloušťky a případně indexu lomu a absorpce – pomocí optimalizace metodu nejmenších čtverců.

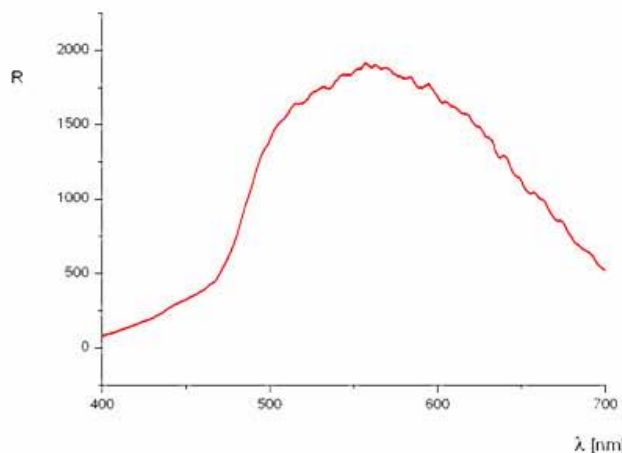


$$R = \frac{I_{odr}}{I_{dop}} = |r|^2$$

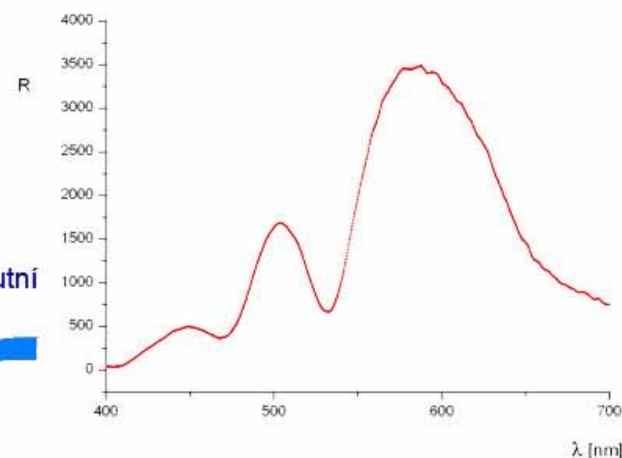
Tompkins, H. G., McGahan, W. A. Spectroscopic ellipsometry and reflectometry: a user's guide, John Wiley & Sons, New York, 1999.

Princip získání odrazivosti

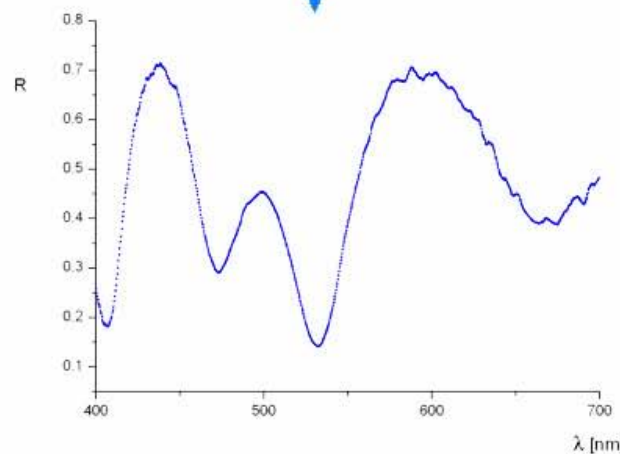
Měření spektra reference



Měření tenké vrstvy



výpočet absolutní odrazivosti



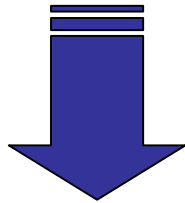
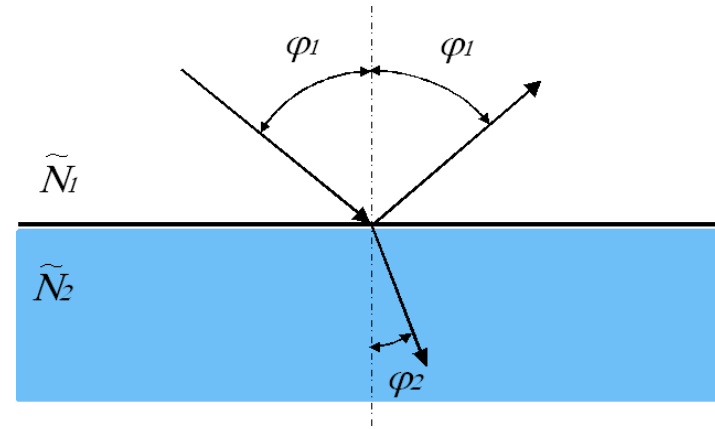
Vyhodnocení dat vhodným fitovacím programem

Matematický model

$$r_{12}^p = \frac{\tilde{N}_2 \cos j_1 - \tilde{N}_1 \cos j_2}{\tilde{N}_2 \cos j_1 + \tilde{N}_1 \cos j_2}$$

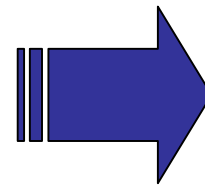
$$r_{12}^s = \frac{\tilde{N}_1 \cos j_1 - \tilde{N}_2 \cos j_2}{\tilde{N}_1 \cos j_1 + \tilde{N}_2 \cos j_2}$$

$$\tilde{N} = n - ik$$



$$r^p = \frac{q_a^p m_{11} - q_s^p m_{22} + q_a^p q_s^p m_{12} - m_{21}}{q_a^p m_{11} + q_s^p m_{22} + q_a^p q_s^p m_{12} + m_{21}}$$

$$r^s = \frac{q_a^s m_{11} - q_s^s m_{22} + q_a^s q_s^s m_{12} - m_{21}}{q_a^s m_{11} + q_s^s m_{22} + q_a^s q_s^s m_{12} + m_{21}}$$



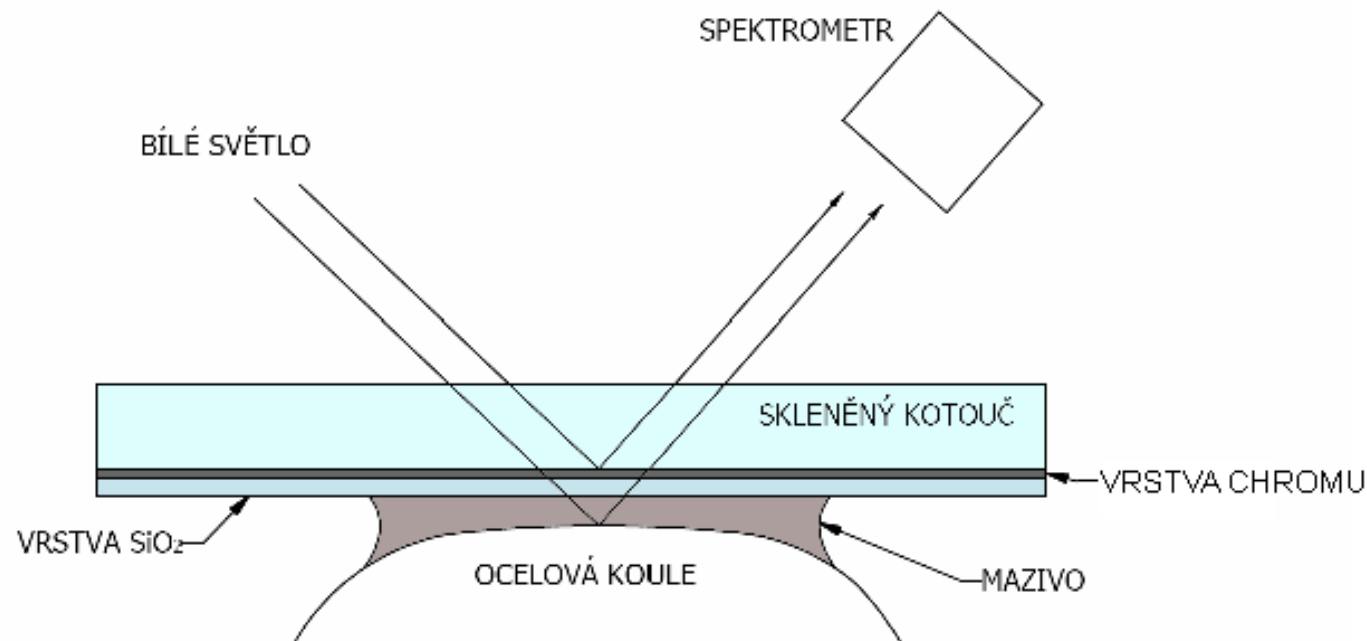
$$S = \sum_{i=1}^m (y_i - y(\bar{x}, \bar{a}))^2$$

\bar{x} - vektor známých parametrů modelu

\bar{a} - vektor parametrů modelu, variabilních při optimalizaci

Dosavadní aplikace metody pro měření mazacích filmů

- Použití vrstvy chromu jako polopropustné vrstvy.
- Použití mezivrstvy SiO_2 pro zdánlivé zvětšení tloušťky mazacího filmu.



GLOVNEA, R. P., FORREST, A. K., OLVER, A. V., SPIKES, H. A. Measurement of sub-nanometer lubricant films using ultra-thin film interferometry. Tribology letters, 2003, Vol. 15, s. 217-230

Dosavadní aplikace metody pro měření mazacích filmů

- Vyhodnocování *relativní* odrazivosti.
- Jako reference použitý systém SKLO-CHROM-SiO₂-OCEL.

$$F = \sum_I \left(\left(\frac{I_{Rball}}{I_{Rair}} \right)_{experimental} - SF \left(\frac{I_{Rball}}{I_{Rair}} \right)_{theory} \right)^2$$

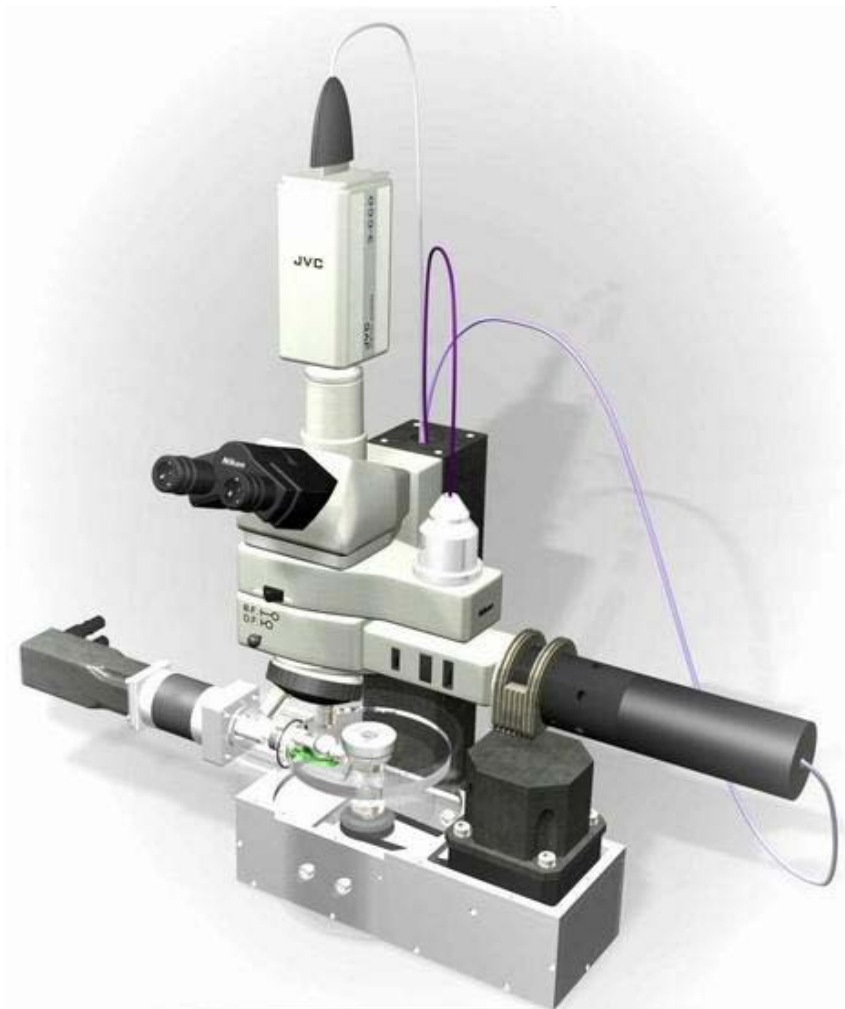
Cíle disertační práce

Vývoj měřicí metody založené na spektroskopické reflektometrii a její aplikace na měření tloušťky EHD a mezných mazacích filmů.

- *Úprava stávající aparatury pro měření spektra odraženého světla z mazaného kontaktu.*
- Nalezení vhodného optického designu.
- *Ověření materiálových konstant a vlastností jednotlivých prvků tvořících optický systém.*
- Nalezení vhodného programového vybavení pro vyhodnocování naměřených dat.
- *Ověření funkčnosti metody na suchém statickém kontaktu.*
- Verifikace měřicí metody v mazaném kontaktu za různých provozních podmínek pomocí srovnání s kolorimetrickou interferometrií a numerickými modely.

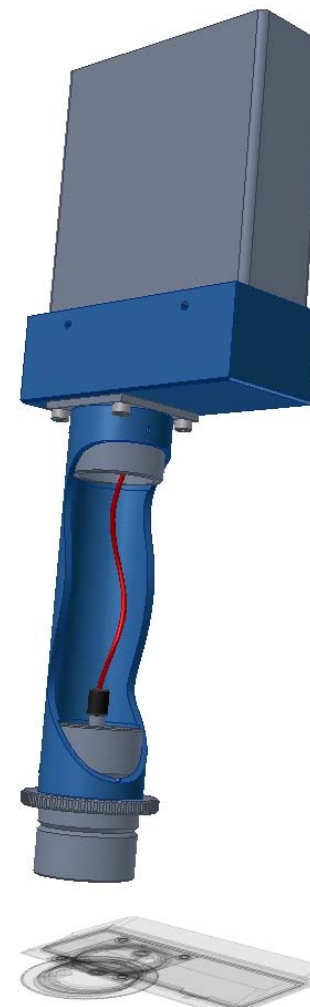
Úprava stávající měřicí aparatury

- **Zdroj** - halogenová žárovka
- **Optická sestava** - mikroskop NIKON Optiphot 150 s telecentrickým objektivem.
- **Třecí povrchy** - ocelová koule o průměru 25,4 mm, skleněný disk o průměru 150 mm
- **Detektor** - vláknový spektrometr OceanOptics s lineárním CCD čipem



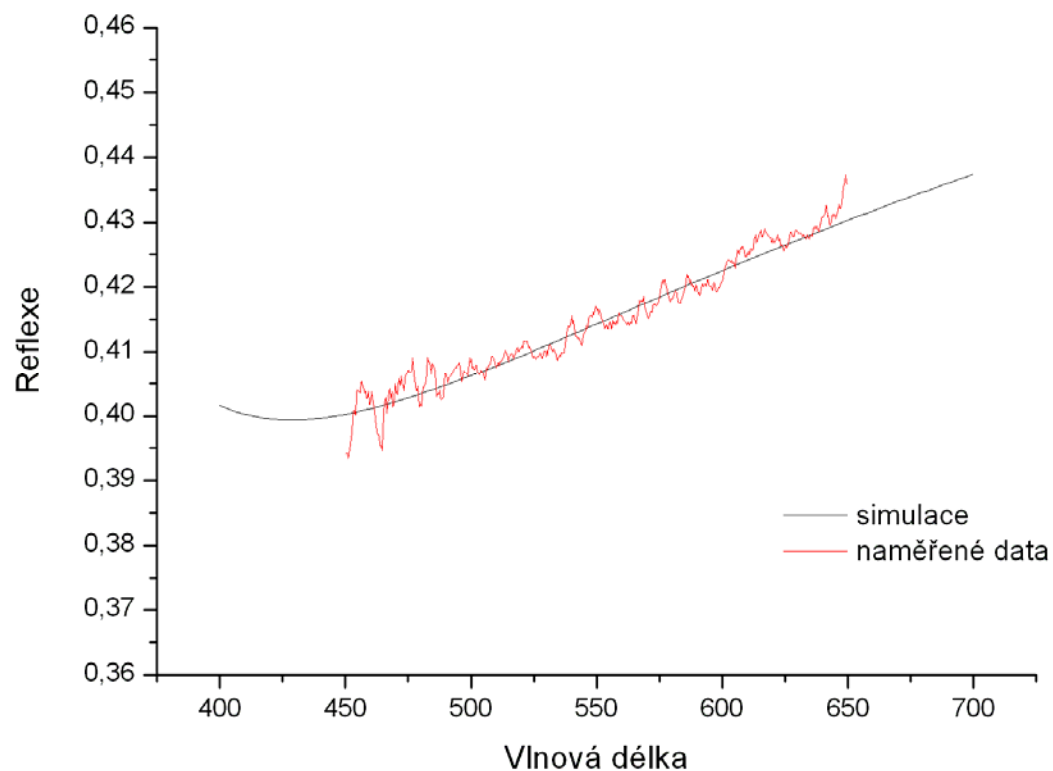
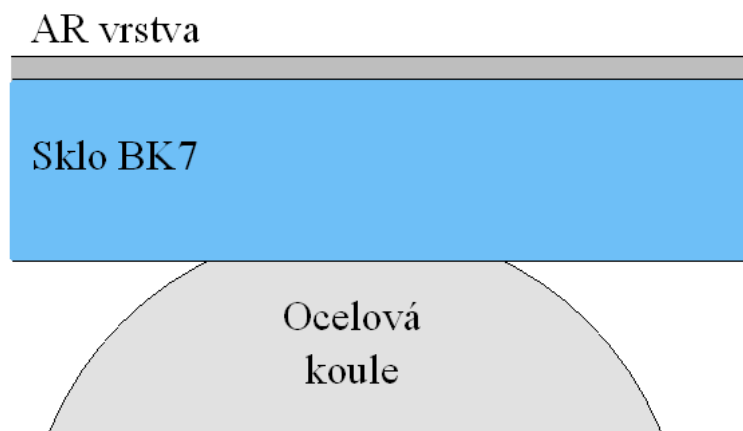
Úprava stávající měřicí aparatury

- **Zdroj** - halogenová žárovka
- **Optická sestava** - mikroskop NIKON Optiphot 150 s telecentrickým objektivem.
- **Třecí povrchy** - ocelová koule o průměru 25,4 mm, skleněný disk o průměru 150 mm
- **Detektor** - vláknový spektrometr OceanOptics s lineárním CCD čipem



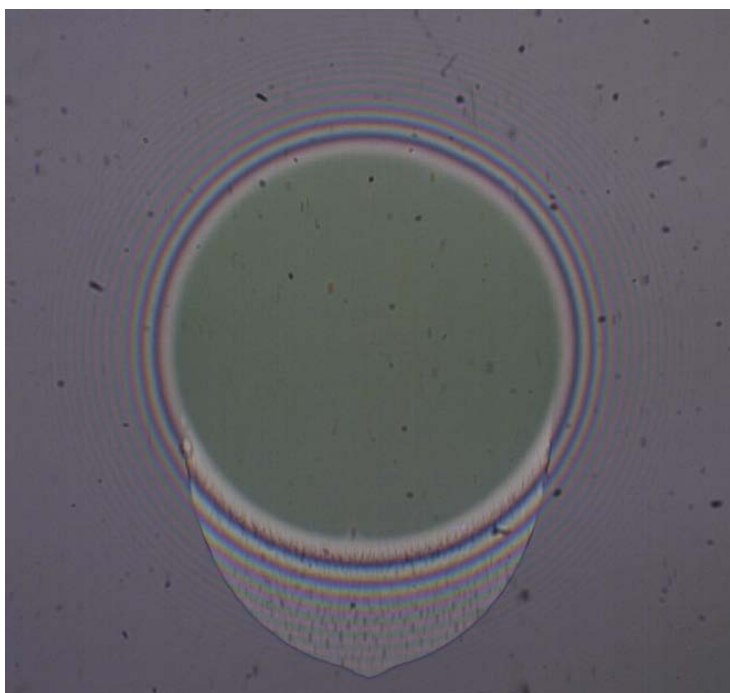
Ověření optických parametrů modelu

- Získání indexu lomu a indexu absorpce pro ocelovou kouli (podložka).
- Jejich ověření v suchém kontaktu.

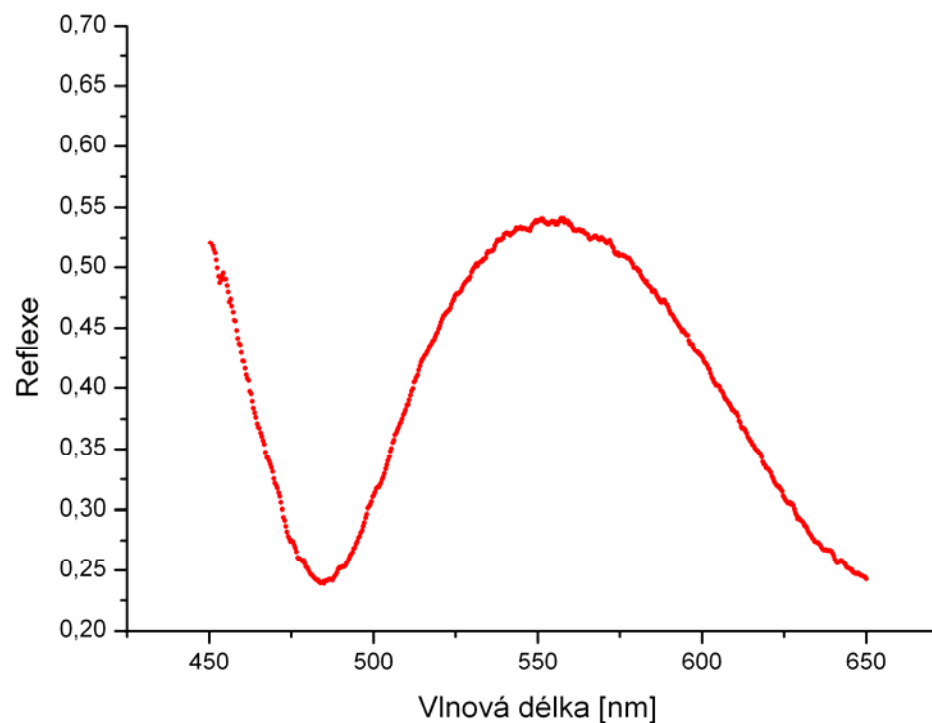


Olej: minerální olej s označením H.P.O. 200.

Rychlost třecích povrchů: 0,0027 m/s.



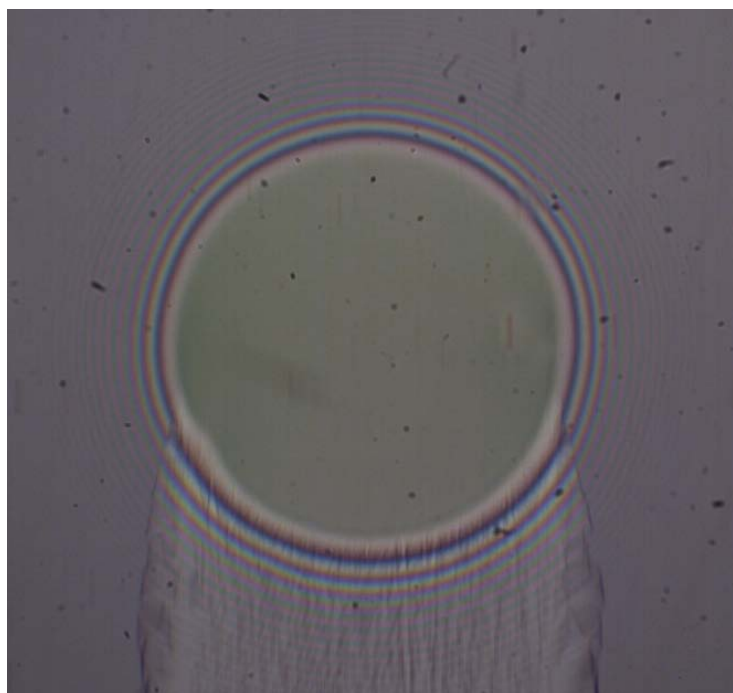
Snímek kontaktu ocelové kuličky s diskem.



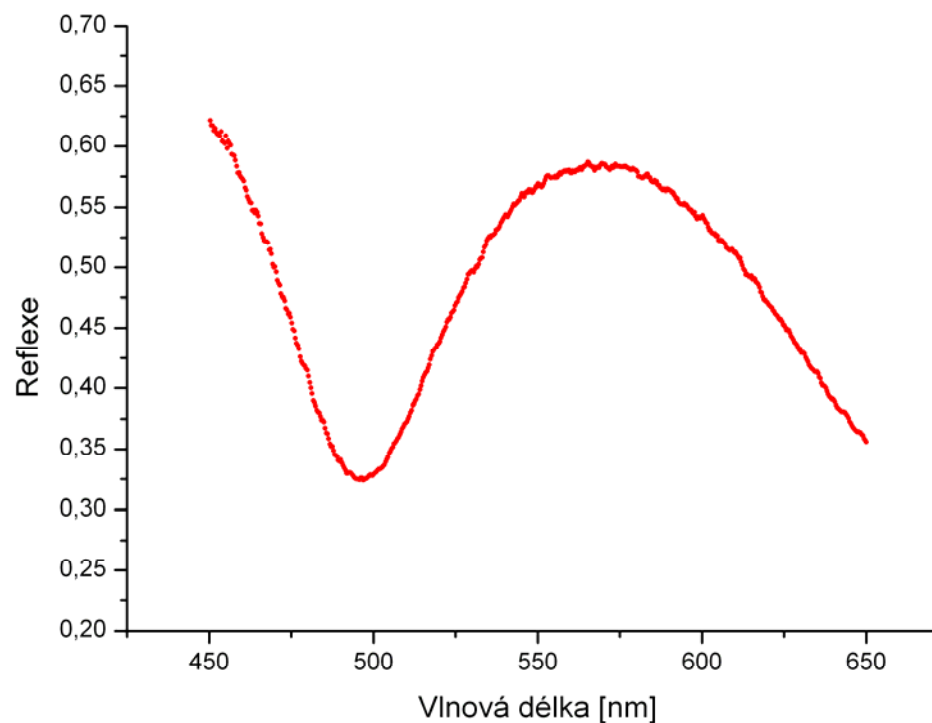
Absolutní odrazivost ve středu kontaktu

Olej: minerální olej s označením H.P.O. 200.

Rychlost třecích povrchů: 0,0133 m/s.



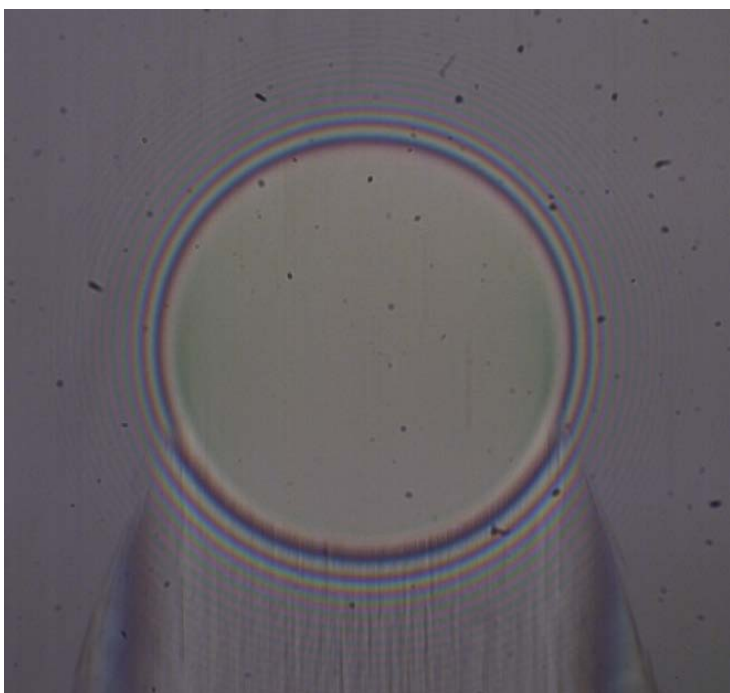
Snímek kontaktu ocelové kuličky s diskem.



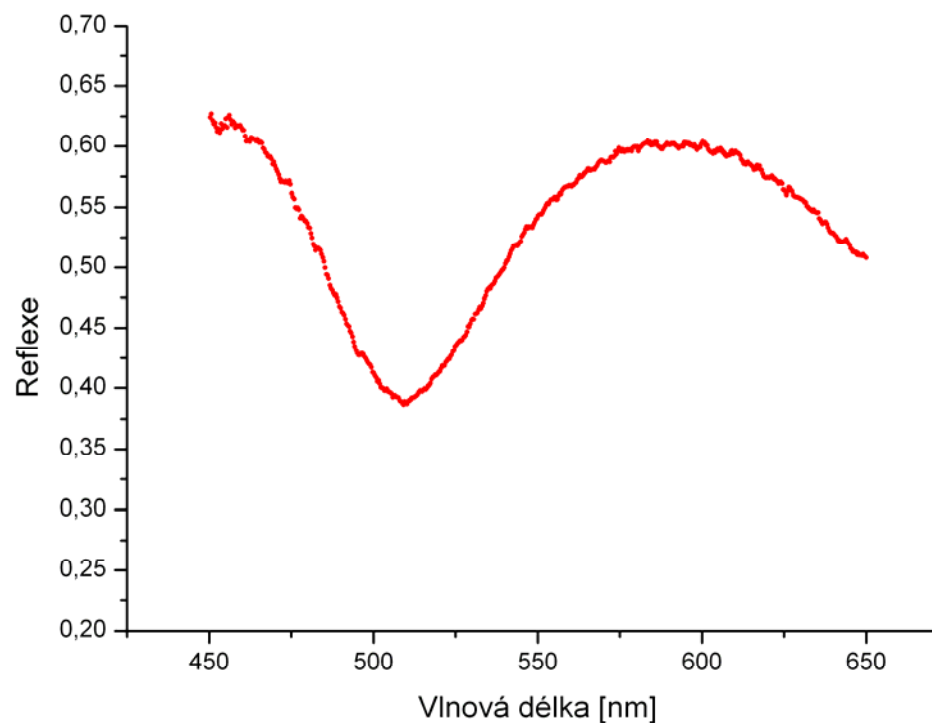
Absolutní odrazivost ve středu kontaktu

Olej: minerální olej s označením H.P.O. 200.

Rychlost třecích povrchů: 0,0332 m/s.



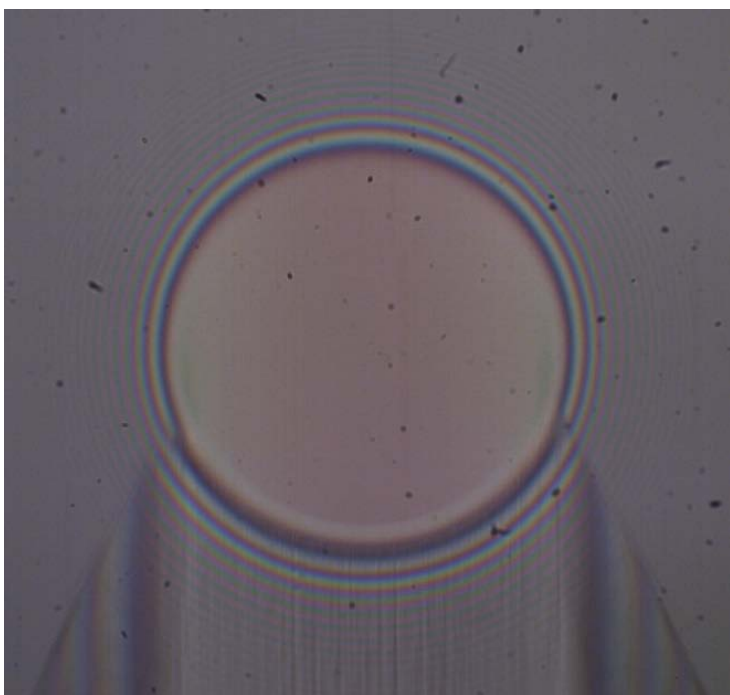
Snímek kontaktu ocelové kuličky s diskem.



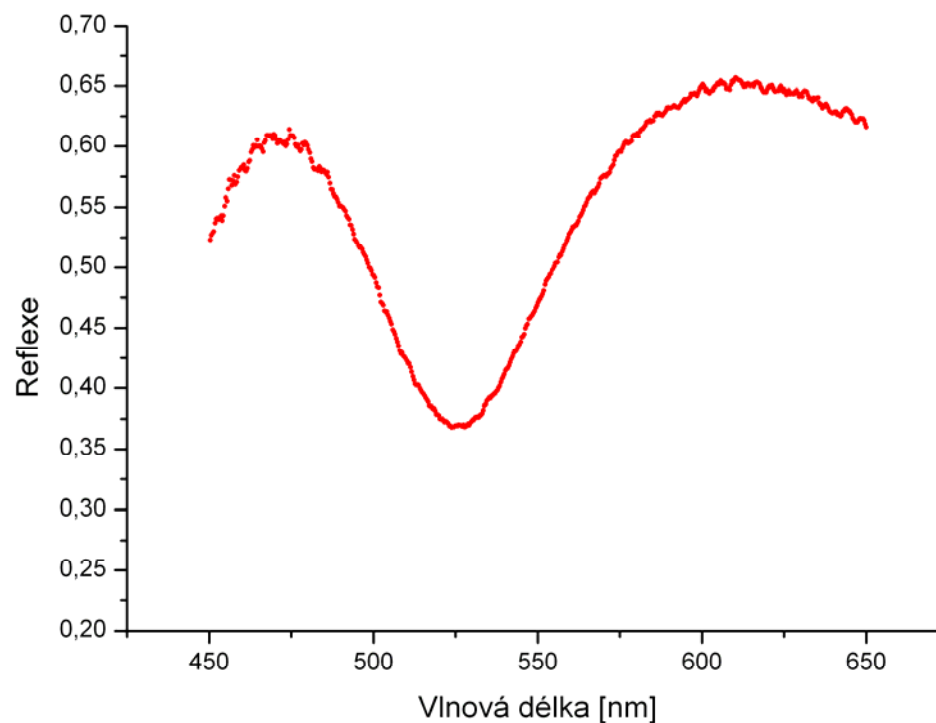
Absolutní odrazivost ve středu kontaktu

Olej: minerální olej s označením H.P.O. 200.

Rychlost třecích povrchů: 0,0665 m/s.



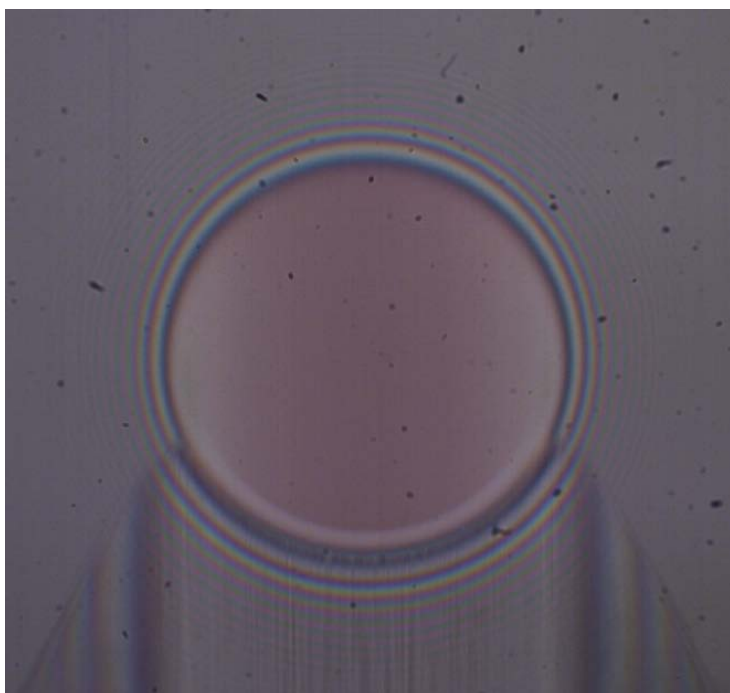
Snímek kontaktu ocelové kuličky s diskem.



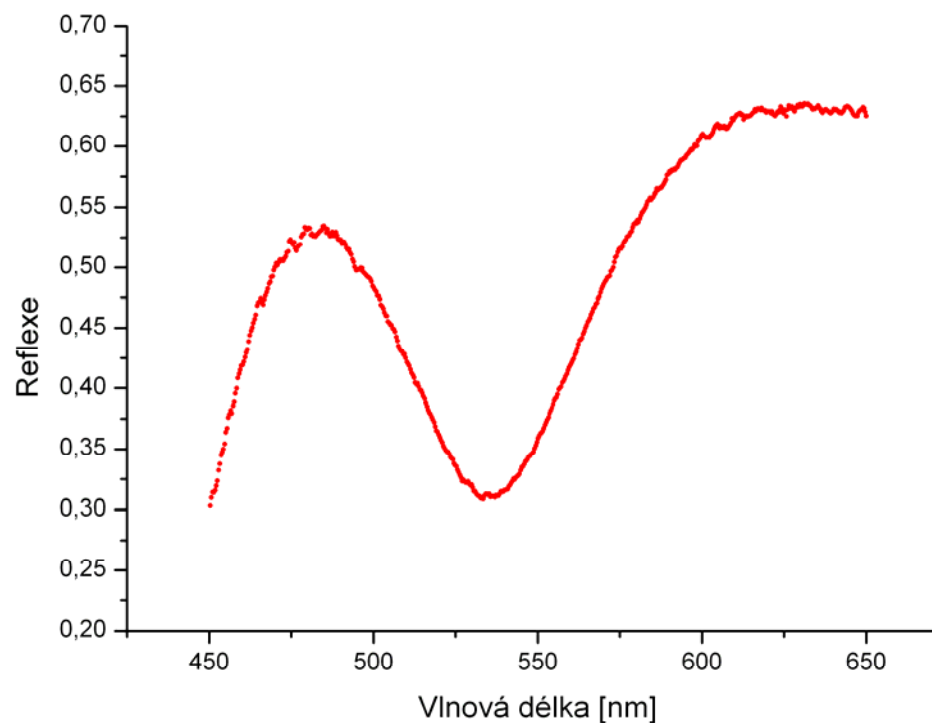
Absolutní odrazivost ve středu kontaktu

Olej: minerální olej s označením H.P.O. 200.

Rychlost třecích povrchů: 0,133 m/s.

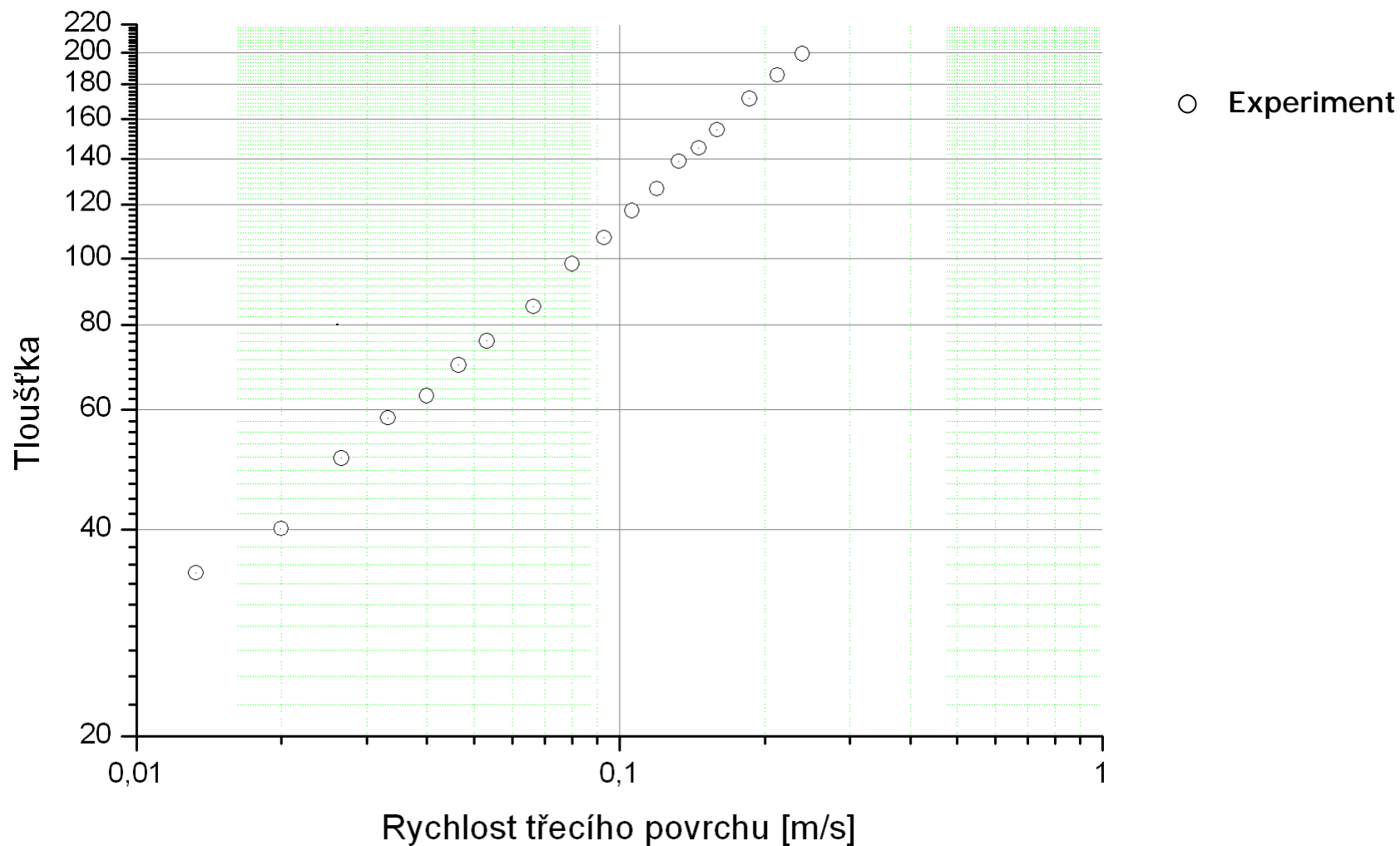


Snímek kontaktu ocelové kuličky s diskem.



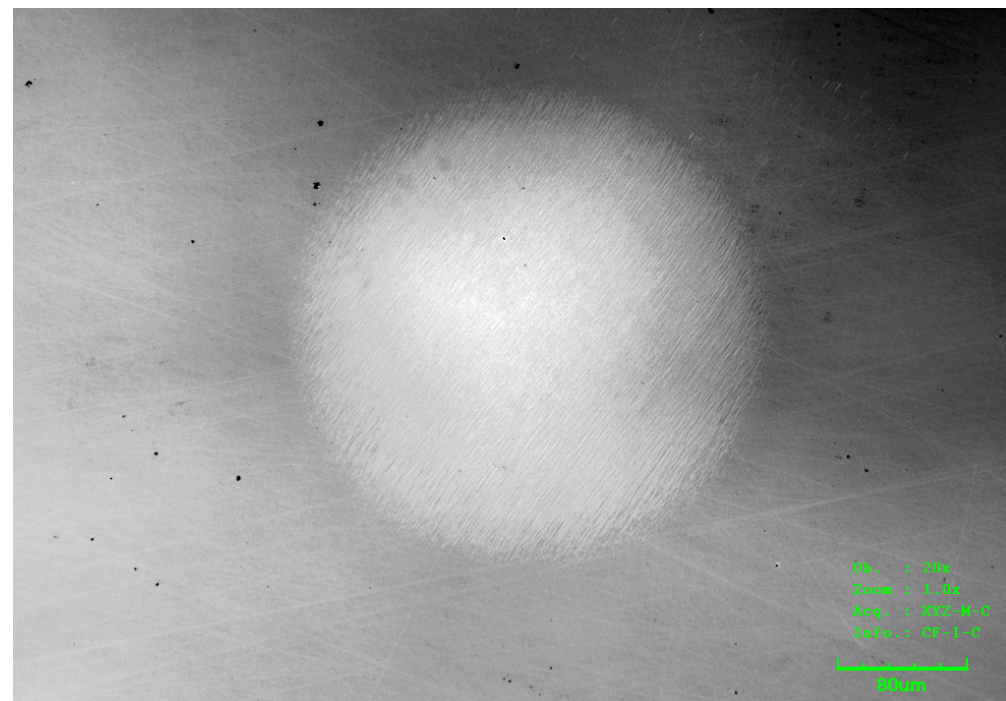
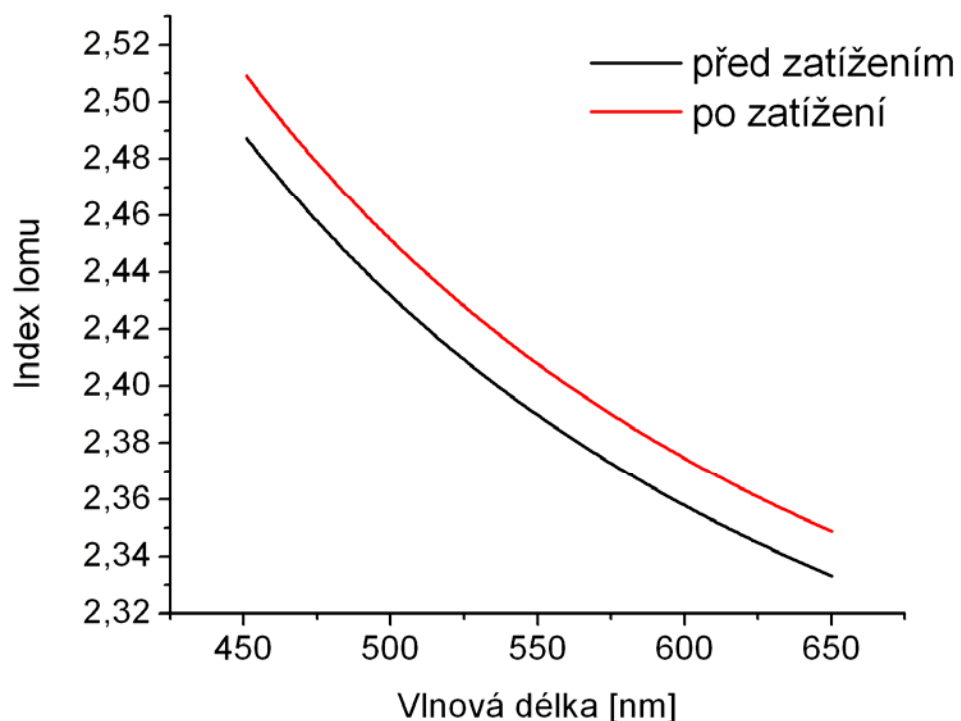
Absolutní odrazivost ve středu kontaktu

Získaná závislosti tloušťky olejového filmu H.P.O. 200 na rychlosti třecích povrchů při čistém valení spektroskopickou reflektometrií.



Vliv tlaku na tenkou vrstvu

- Model tvořený soustavou SKLO(BK7)-TiO₂(300 nm)-OLEJ-OCEL.
- Parametry tenké vrstvy TiO₂ před zatížením: $n=2.19+(60450/I^2)$, $d=298$ nm.
- Parametry tenké vrstvy TiO₂ po zatížení: $n=2.20+(62870/I^2)$, $d=294,3$ nm.



Závěr

- Metody používané v současnosti jsou komparativní.
- Dosavadní výsledky ukazují na možnost použití spektroskopické reflektometrie při studiu chování mazacího filmu.
- Možnost využití této metody i pro měření jiných parametrů než centrální tloušťky mazacího filmu

Děkuji za pozornost